

บทที่ 3

ผลการทดลอง

3.1 ผลการตรวจคัดกรองเอนไซม์ carbapenemase โดยวิธี disc diffusion

ผลการตรวจคัดกรองเอนไซม์ carbapenemase โดยวิธี disc diffusion ในเชื้อทั้งหมด 4,418 ตัวอย่างมีเชื้อที่ให้ผลบวกจำนวน 104 ตัวอย่าง (ร้อยละ 2.2) โดยส่วนใหญ่ (59 ตัวอย่าง) เป็น *Enterobacter* spp. (ตารางที่ 3.1)

3.2 ผลการตรวจยืนยันเอนไซม์ carbapenemase โดยวิธีฟโนไทป์

ผลการตรวจยืนยันเอนไซม์ carbapenemase ในเชื้อที่ให้ผลบวกกับวิธีตรวจคัดกรองจำนวน 104 ตัวอย่างพบว่ามีเชื้อ 27 ตัวอย่างให้ผลบวกกับวิธี MHT นอกจากนี้เชื้อ 36 ตัวอย่างให้ผลบวกกับวิธี PBA-carbapenem combined disc และว่าเชื้อจากผลิตเอนไซม์ class A carbapenemase หรือ AmpC ในเชื้อ 36 ตัวอย่างที่ให้ผลบวกกับวิธี PBA-carbapenem combined disc พบว่ามี 23 ตัวอย่างให้ผลบวกกับวิธี OX-carbapenem combined disc แปลผลได้ว่าเชื้อผลิตเอนไซม์ AmpC อีก 13 ตัวอย่างให้ผลบวกกับวิธี PBA-carbapenem combined disc เท่านั้น โดยขนาดของ inhibition zone เพิ่มขึ้นอยู่ในช่วง 5-10 มิลลิเมตร นอกจากนี้เชื้อ 8 ตัวอย่างที่ให้ผลบวกกับวิธี EDTA-carbapenem combined disc แปลผลได้ว่าเชื้อผลิตเอนไซม์ MBL โดยขนาดของ inhibition zone เพิ่มขึ้นอยู่ในช่วง 6-19 มิลลิเมตร (รูปที่ 3.1 และ 3.2 และ ตารางที่ 3.1 และ 3.2)

3.3 การตรวจชนิดของเอนไซม์ carbapenemase โดยวิธี multiplex PCR

ผลการตรวจชนิดของเอนไซม์ carbapenemase โดยวิธี multiplex PCR พบว่ามีเชื้อจำนวน 6 ตัวอย่างเป็น *C. freundii*, *E. coli* และ *K. pneumoniae* ชนิดละ 2 ตัวอย่างตรวจพบยืน *bla_{NDM}* นอกจากนี้มี *K. pneumoniae* อีก 2 ตัวอย่างตรวจพบยืน *bla_{IMP}* แต่ไม่พบตัวอย่างที่มียืน *bla_{KPC}* และ *bla_{OXA-48}* (รูปที่ 3.3 และ ตารางที่ 3.2)

ผลการตรวจหา integron ที่เกี่ยวข้องกับยืน *bla_{IMP}* ใน *K. pneumoniae* ทั้ง 2 ตัวอย่างโดยวิธี PCR ให้ผลดังแสดงในรูปที่ 3.4 เมื่อการตรวจลำดับนิวคลีโอไทด์ของยืน *bla_{IMP}* และ integron จาก PCR product ที่ได้พบว่าทั้ง 2 ตัวอย่างเป็น *bla_{IMP-14a}* อยู่บน integron ที่มียืน aminoglycoside 6'-N-acetyltransferase (*aacA*) อยู่ด้วยเช่นเดียวกับที่รายงานใน *P. aeruginosa* จากโรงพยาบาลศิริราช (GenBank accession no. AY553332) ในขณะที่เป็นยืน *bla_{IMP-14a}* ใน *P. aeruginosa* จากโรงพยาบาลศรีนครินทร์พบอยู่บน integron ที่มียืน aminoglycoside adenyltransferase (*aadB*) อยู่ด้วย (GenBank accession no. FJ267651) เช่นเดียวกับที่พบใน *P. aeruginosa* จากประเทศไทยซึ่งแยกได้ที่ประเทศไทย (31) (รูปที่ 3.5 และ 3.6)

ผลการตรวจลำดับนิวคลีโอไทด์ของยืน *bla_{NDM}* จาก PCR product ของเชื้อทั้ง 6 ตัวอย่าง (รูปที่ 3.7) พบว่าเป็นยืน *bla_{NDM-1}* และมียืนรอบข้างเหมือนกับตัวอย่างที่มีรายงานในประเทศไทยเดียว (7), อ่องกง (32) และสเปน (33) ซึ่งทางด้าน upstream ของยืน *bla_{NDM-1}* เป็นส่วนของยืน *ISAb125* ส่วนยืน *ble* (bleomycin resistance gene) และ *trpF* (phosphoribosylanthranilate isomerase gene) อยู่ทางด้าน downstream (รูปที่ 3.8)

3.4 การทดสอบความไวของเชื้อต่อยาต้านจุลชีพชนิดต่าง ๆ

ค่า MIC ต่อยา ertapenem, imipenem และ meropenem ของเชื้อที่ผลิตเอนไซม์ NDM-1 อยู่ในช่วง 16-64, 4-16 และ 4-16 ไมโครกรัมต่อมิลลิลิตรตามลำดับ ซึ่งสูงกว่าเชื้อที่ผลิตเอนไซม์ IMP-14a ที่มีค่า MIC 2-4, 0.25 และ 0.5-2 ไมโครกรัมต่อมิลลิลิตรตามลำดับ (ตารางที่ 3.3) เชื้อทั้ง 8 ตัวอย่างไวต่อยา colistin และ

tiglyccline และมี 5 ตัวอย่างที่ไม่ผลิตเอนไซม์ ESBL ไวต่อยา aztreonam เชือที่ผลิตเอนไซม์ NDM-1 ไวต่อยา amikacin ร้อยละ 100 netilmicin ร้อยละ 83.3 gentamicin ร้อยละ 50 และน้อยกว่าร้อยละ 50 ต่อ fluoroquinilones และ trimethoprim/sulfamethoxazon ทุกตัวอย่างดื้อต่อยาต้านจุลชีพกลุ่ม β -lactams ทุกชนิดที่ทดสอบ ส่วนเชือที่ผลิตเอนไซม์ IMP-14a พนว่า Kp-22 ไวต่อยากลุ่ม amoniglycosides และ quinolones ส่วน Kp-34 ดื้อต่อยาสองกลุ่มนี้

3.5 การตรวจสอบสายพันธุ์ของแบคทีเรียที่ดื้อยา

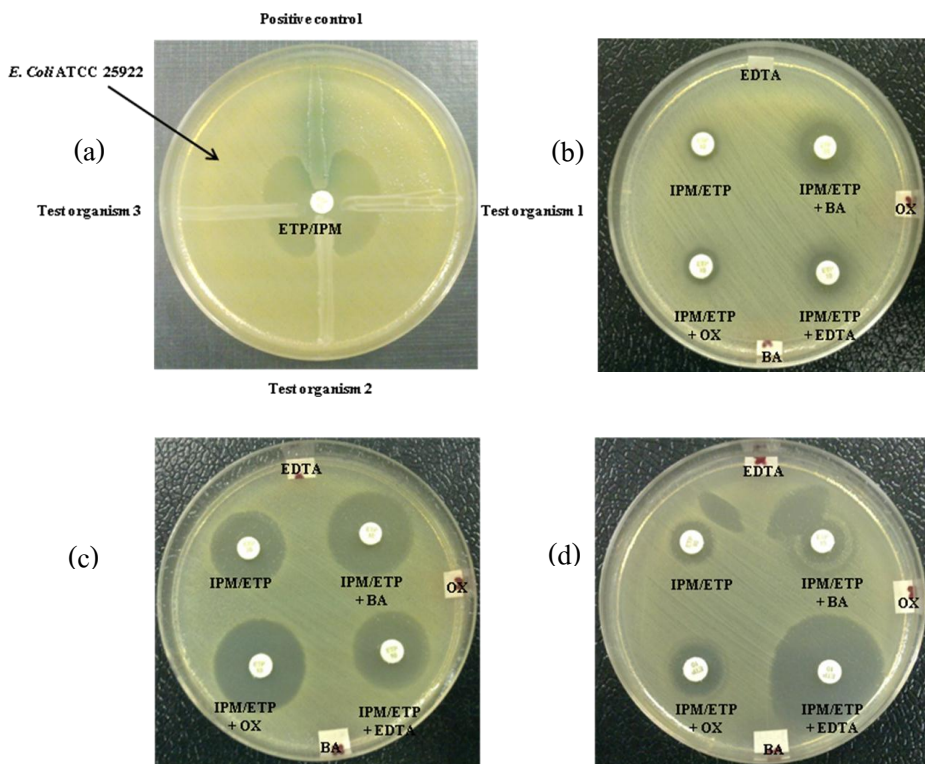
จากการทำ ERIC-PCR โดยใช้ primer ERIC2 อย่างเดียว หรือ ERIC1R คู่กับ ERIC2 ขนาดของชิ้นส่วน DNA อุ่ร่วง 100 bp ถึง 2 kb และมีจำนวน 6 ถึง 10 แคน เมื่ออ่านผลด้วยตาเปล่าพบว่าทุกตัวอย่างมีแคน DNA แตกต่างกันมากกว่า 1 แคนขึ้นไป ยกเว้น *C. freundii* 2 ตัวอย่างที่ให้แคนของดีเอ็นเอเหมือนกันทุกแคน (รูปที่ 3.9)

ตารางที่ 3.1 ผลการตรวจยืนยันการผลิตเอนไซม์ carbapenemase โดยวิธี modified Hodge และ combined disc และการตรวจนิคของเอนไซม์ carbapenemase โดยวิธี multiplex PCR

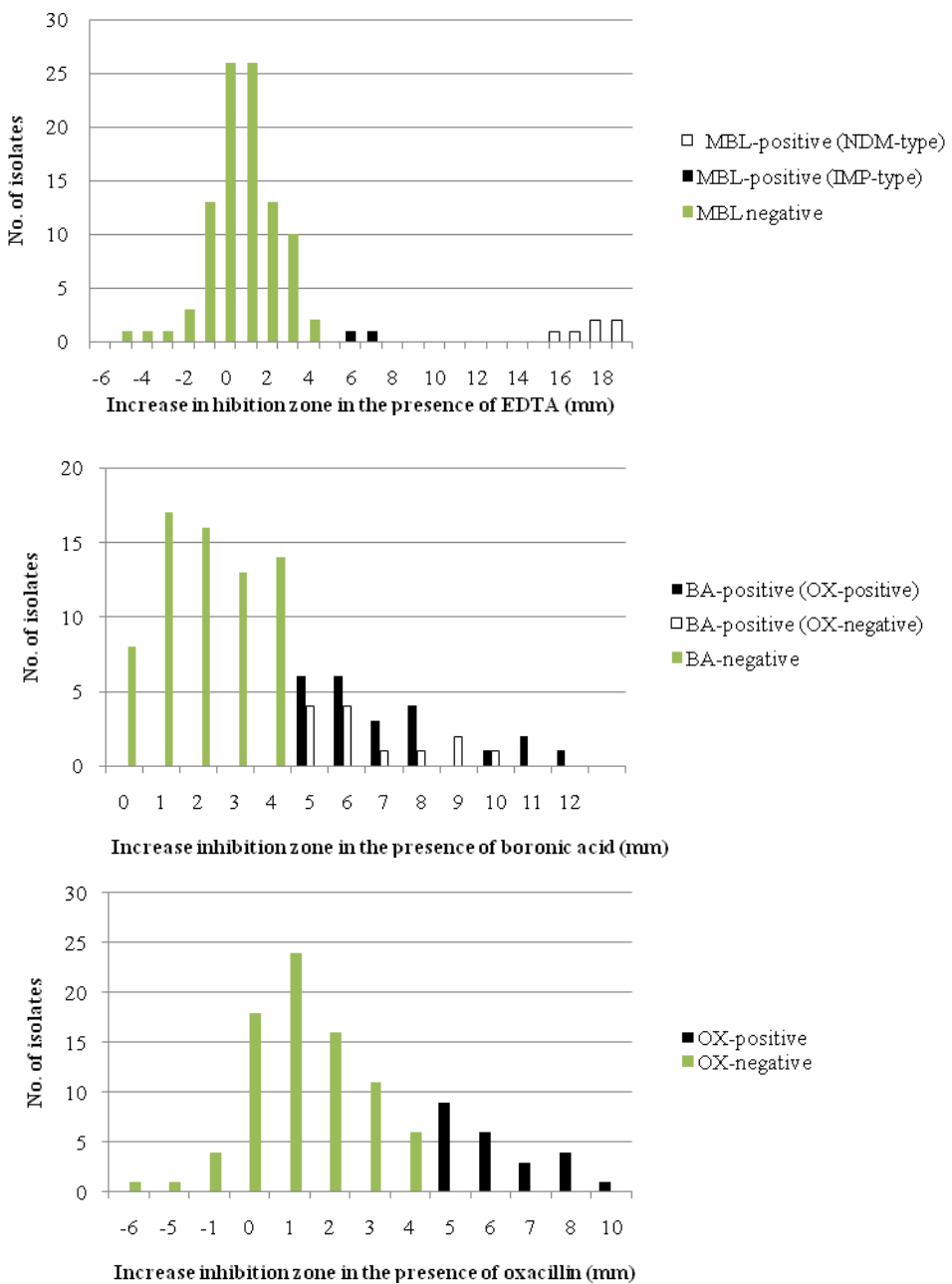
Organisms	No. isolates tested (%)	No. isolates positive by						
		Phenotypic tests ^a				Multiplex PCR ^b		
		MHT	PBA	OXA	EDTA	<i>bla</i> _{NDM}	<i>bla</i> _{IMP}	
<i>Enterobacter</i> spp.	59 (56.7)	17	31	21	-	-	-	
<i>K. pneumonia</i>	12 (11.5)	4	1	-	4	2	2	
<i>Klebsiella</i> spp.	12 (11.5)	-	3	1	-	-	-	
<i>E. coli</i>	11 (10.6)	3	1	1	2	2	-	
<i>M. morganii</i>	6 (5.8)	-	-	-	-	-	-	
<i>C. freundii</i>	2 (1.9)	2	-	-	2	2	-	
<i>C. diversus</i>	1 (1.0)	-	-	-	-	-	-	
<i>P. rettgeri</i>	1 (1.0)	1	-	-	-	-	-	
Total	104 (100)	27	36	23	8	6	2	

^aPBA, phenylboronic acid-carbapenem combined disc test; EDTA, EDTA-carbapenem combined disc test; MHT, modified Hodge test; OX, oxacillin-carbapenem combined disc test.

^bTwo sets of multiplex PCR, one for *bla*_{IMP}, *bla*_{VIM}, *bla*_{SPM-1}, *bla*_{GIM-1} *bla*_{SIM-1} and the other for *bla*_{NDM}, *bla*_{KPC} and *bla*_{OXA-48}.



รูปที่ 3.1 การตรวจยืนยันเอนไซม์ carbapenemase โดยวิธีทางฟิโน่ไกป์ ได้แก่ วิธี modified Hodge (a), วิธี combined disc; phenylboronic acid (PBA) positive (b), PBA และ oxacillin (OX) positive (c), และ EDTA positive (d)

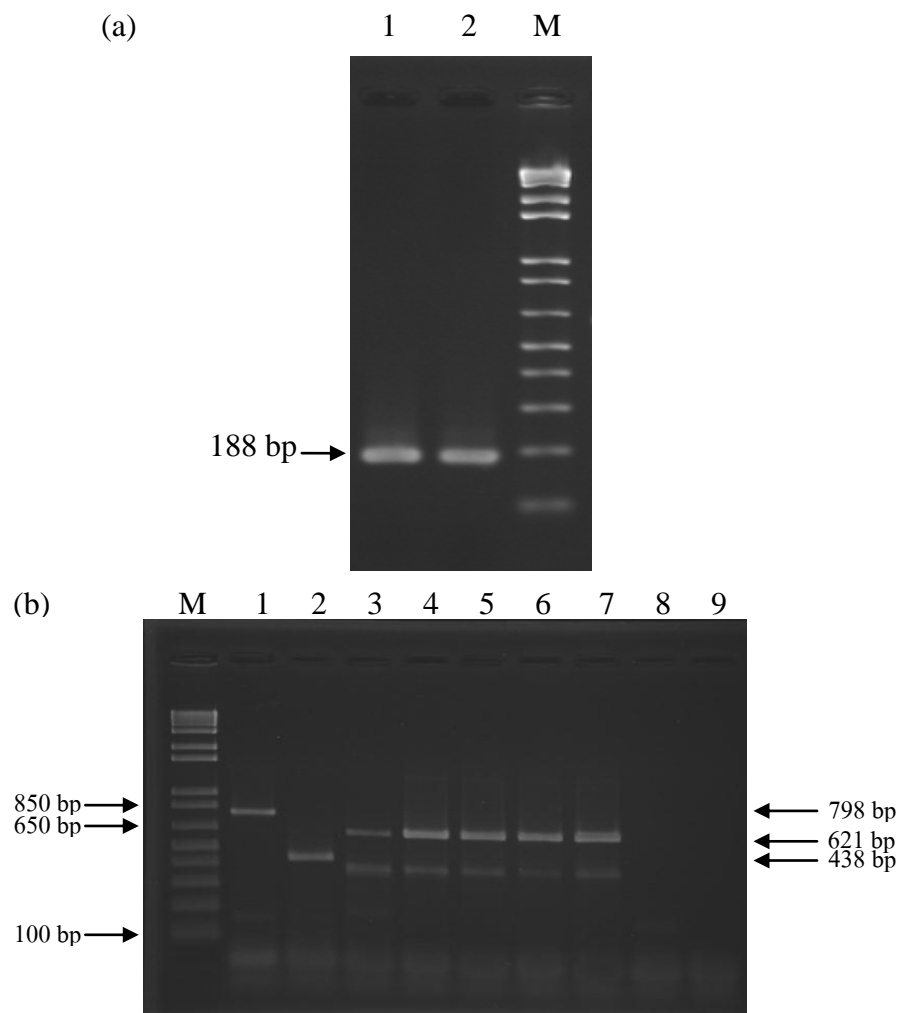


รูปที่ 3.2 การเพิ่มขึ้นของขนาด inhibition zone ของ *Enterobacteriaceae* 104 ตัวอย่างเมื่อทดสอบด้วยวิธี EDTA-, phenylboronic acid (PBA)- และ oxacillin (OX)-carbapenem combined disc

ตารางที่ 3.2 ผลการตรวจคัดกรองเอนไซม์ carbapenemase, modified Hodge, EDTA combined disc และชนิดของยีน β-lactamase ในเชื้อ 8 ตัวอย่างที่ผลิตเอนไซม์ MBL

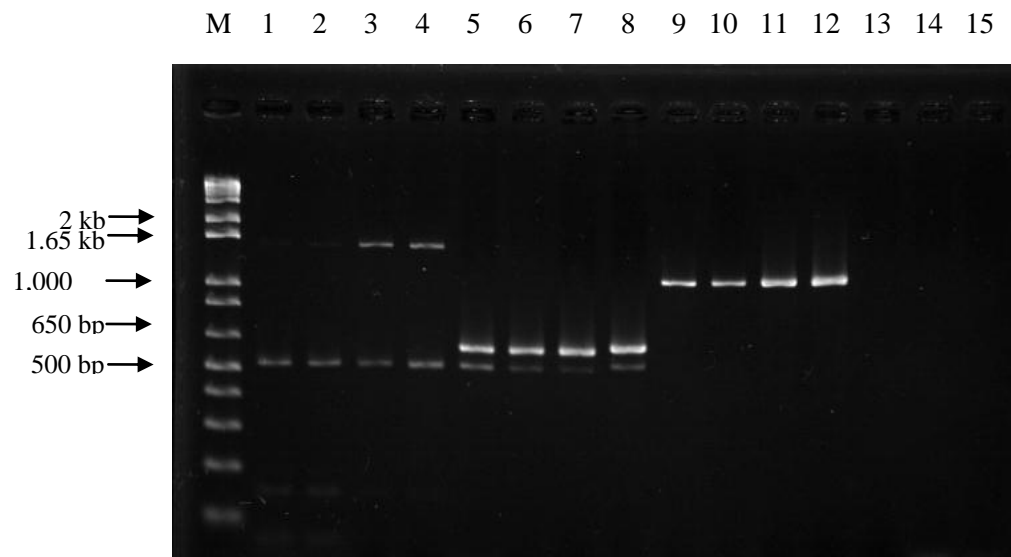
Organisms isolate no.	Screening		EDTA		carbapenemase genes	
	test (mm)		combined disc test (mm) ^a	MHT		
	ETP	IPM				
<i>K. pneumoniae</i> Kp-22	17	23	7	+	<i>bla</i> _{IMP-14a}	
<i>K. pneumoniae</i> Kp-34	19	28	6	+	<i>bla</i> _{IMP-14a}	
<i>C. freundii</i> Cf-55	9	18	18	+	<i>bla</i> _{NDM-1}	
<i>C. freundii</i> Cf-119	10	16	19	+	<i>bla</i> _{NDM-1}	
<i>K. pneumoniae</i> Kp-120	10	17	19	-	<i>bla</i> _{NDM-1}	
<i>K. pneumoniae</i> Kp-103	12	16	16	+	<i>bla</i> _{NDM-1}	
<i>E. coli</i> Ec-131	13	16	17	-	<i>bla</i> _{NDM-1}	
<i>E. coli</i> Ec-148	13	18	18	+	<i>bla</i> _{NDM-1}	

^aIncrease of inhibition zone diameters of the ertapenem disc containing 292 µg of EDTA compared with that of the ertapenem disc alone.



รูปที่ 3.3 ผลการตรวจหายีน bla_{IMP} (a) และ bla_{NDM} , bla_{KPC} และ bla_{OXA-48} โดยวิธี multiplex PCR (b) จากเชื้อ วงศ์ *Enterobacteriaceae*

- (a) Lanes M, 1 kb plus DNA ladder; 1 & 2, *K. pneumoniae* isolates no. 22 และ 34 ตามลำดับ
- (b) Lanes M, 1 kb plus DNA ladder; 1 & 8, *K. pneumoniae* ATCC[®] BAA-1705 ที่มียีน bla_{KPC} และ *K. pneumoniae* ATCC[®] BAA-1706 ที่ไม่มียีน bla_{KPC} ตามลำดับ; 2, *K. pneumoniae* ที่มียีน $bla_{OXA-48-like}$; 3 ถึง 7, *C. freundii* ที่มียีน bla_{NDM} ; 9, PCR blank



รูปที่ 3.4 ผลการตรวจหา integron ของเชื้อที่มียีน *bla_{IMP-14a}* (Kp-22 และ Kp-34) โดยใช้เพรเมอร์ 5' CS คู่กับ 3' CS (lane 1-4), 5'CS คู่กับ IMP-R (lane 5-8) และ IMP-F คู่กับ 3'CS (lane 9-12)

Lane M, 1 kb plus DNA ladder; Lane 1, 2, 5, 6, 9 และ 10, Kp-22; 3, 4, 7, 8, 11 และ 12, Kp-34; และ 13-15, PCR blank control

IMP-14	GGCATCCAAG CAGCAAGCGC GTTACGCCGT GGTCGATGT TTGATGTTAT GGAGCAGCAA
Kp-22	----- ----- ----- -GGTCGATGT TTGATGTTAT GGAGCAGCAA
Kp-34	----- ----- ----- --GTCGATGT TTGATGTTAT GGAGCAGCAA
61	*** 120
IMP-14	CGATGTTACG CAGCAGGGCA GTCGCCCTAA AACAAAGTTA GAAAAGGATA AGTATGAAAA
Kp-22	CGATGTTACG CAGCAGGGCA GTCGCCCTAA AACAAAGTTA GAAAAGGATA AGTATGAAAA
Kp-34	CGATGTTACG CAGCAGGGCA GTCGCCCTAA AACAAAGTTA GAAAAGGATA AGTATGAAAA
121	180
IMP-14	AATTATTTGT TTTATGTGTA TTCTTCTTCT GCAACATTCG AGTTGCAGAA GAATCTTG
Kp-34	AATTATTTGT TTTATGTGTA TTCTTCTTCT GCAACATTCG AGTTGCAGAA GAATCTTG
Kp-22	AATTATTTGT TTTATGTGTA TTCTTCTTCT GCAACATTCG AGTTGCAGAA GAATCTTG
181	240
IMP-14	CTGATTTAAA AATTGAGAAG CTTGAAGAAG GCGTTATGT TCATACTTCG TTTGAAGAAG
Kp-22	CTGATTTAAA AATTGAGAAG CTTGAAGAAG GCGTTATGT TCATACTTCG TTTGAAGAAG
Kp-34	CTGATTTAAA AATTGAGAAG CTTGAAGAAG GCGTTATGT TCATACTTCG TTTGAAGAAG
241	300
IMP-14	TTAAAGGTTG GAGTGTGGTC ACTAACACAG GTTTGGGTT TCTTGTAAA AATGACGCCT
Kp-22	TTAAAGGTTG GAGTGTGGTC ACTAACACAG GTTTGGGTT TCTTGTAAA AATGACGCCT
Kp-34	TTAAAGGTTG GAGTGTGGTC ACTAACACAG GTTTGGGTT TCTTGTAAA AATGACGCCT
301	360
IMP-14	ATCTGATTGA TACTCCAATT ACTGCTAAAG ATACTGAAA ATTAGTCAT TGTTTGTG
Kp-22	ATCTGATTGA TACTCCAATT ACTGCTAAAG ATACTGAAA ATTAGTCAT TGTTTGTG
Kp-34	ATCTGATTGA TACTCCAATT ACTGCTAAAG ATACTGAAA ATTAGTCAT TGTTTGTG
361	420
IMP-14	AGCGGGCTA AAAATCAAA GGCAGTATT CAACACATT CCATGGTGAC AGTACGGCTG
Kp-22	AGCGGGCTA AAAATCAAA GGCAGTATT CACCATATT CCATGGTGAC AGTACGGCTG
Kp-34	AGCGGGCTA AAAATCAAA GGCAGTATT CACCATATT CCATGGTGAC AGTACGGCTG
421	480
IMP-14	GAATAGAGTG GCTTAATTCT CAATCTATCC CCACATATGC TTCTGAATTA ACAAAATGAAC
Kp-22	GAATAGAGTG GCTTAATTCT CAATCTATCC CCACATATGC TTCTGAATTA ACAAAATGAAC
Kp-34	GAATAGAGTG GCTTAATTCT CAATCTATCC CCACATATGC TTCTGAATTA ACAAAATGAAC
481	540
IMP-14	TTCTTAAAAA AGACAATAAG GTACAAGCTA AACACTCTT TAATGGGTT AGTTATTAC
Kp-22	TTCTTAAAAA AGACAATAAG GTACAAGCTA AACACTCTT TAATGGGTT AGTTATTAC
Kp-34	TTCTTAAAAA AGACAATAAG GTACAAGCTA AACACTCTT TAATGGGTT AGTTATTAC
541	600
IMP-14	TAATTAAAAA CAAAATTGAA GTTTTTTATC CAGGCCAGG GCACACTCAA GATAACGTAG
Kp-22	TAATTAAAAA CAAAATTGAA GTTTTTTATC CAGGCCAGG GCACACTCAA GATAACGTAG
Kp-34	TAATTAAAAA CAAAATTGAA GTTTTTTATC CAGGCCAGG GCACACTCAA GATAACGTAG
601	660
IMP-14	TGGTTGGTT ACCTGAAAG AAAATTCT TCGGTGGTT CGGGACGGTC
Kp-22	TGGTTGGTT ACCTGAAAG AAAATTCT TCGGTGGTT CGGGACGGTC
Kp-34	TGGTTGGTT ACCTGAAAG AAAATTCT TCGGTGGTT CGGGACGGTC
661	720
IMP-14	TTGGCTATTT GGGGACGCA AATTAGAAG CTTGGCCAAA GTCCGCTAAA ATATTAATGT
Kp-22	TTGGCTATTT GGGGACGCA AATTAGAAG CTTGGCCAAA GTCCGCTAAA ATATTAATGT
Kp-34	TTGGCTATTT GGGGACGCA AATTAGAAG CTTGGCCAAA GTCCGCTAAA ATATTAATGT
721	780
IMP-14	CTAAATATGG TAAAGCAAA CTAGTTGTGT CGAGTCATAG TGATATTGGA GATGTATCAC
Kp-22	CTAAATATGG TAAAGCAAA CTAGTTGTGT CGAGTCATAG TGATATTGGA GATGTATCAC
Kp-34	CTAAATATGG TAAAGCAAA CTAGTTGTGT CGAGTCATAG TGATATTGGA GATGTATCAC
781	840
IMP-14	TCTTGAAACG TACATGGGAG CAGGCTGTTA AAGGGCTGAA TGAAAGTAAA AAATCATCAC
Kp-22	TCTTGAAACG TACATGGGAG CAGGCTGTTA AAGGGCTGAA TGAAAGTAAA AAATCATCAC
Kp-34	TCTTGAAACG TACATGGGAG CAGGCTGTTA AAGGGCTGAA TGAAAGTAAA AAATCATCAC

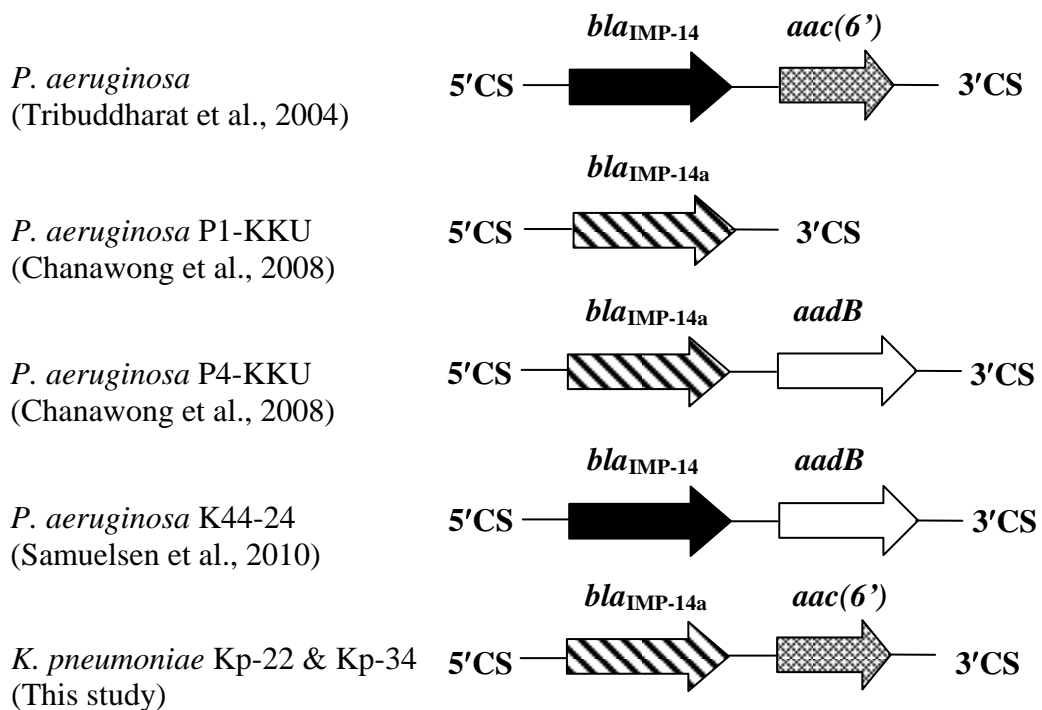
รูปที่ 3.5 ลำดับนิวคลีโอไทด์ของยีน *bla_{IMP-14a}* และ integron จาก *K. pneumoniae* isolates Kp-22 และ Kp-34 เปรียบเทียบกับของยีน *bla_{IMP-14}* ซึ่งรายงานโดย Tribuddharat และคณะ (2004) (GenBank accession no. AY553332)

*แสดง start codon และ stop codon; แรเงาแสดงตำแหน่งนิวคลีโอไทด์ของยีน *bla_{IMP-14a}* ที่ต่างจาก *bla_{IMP-14}*

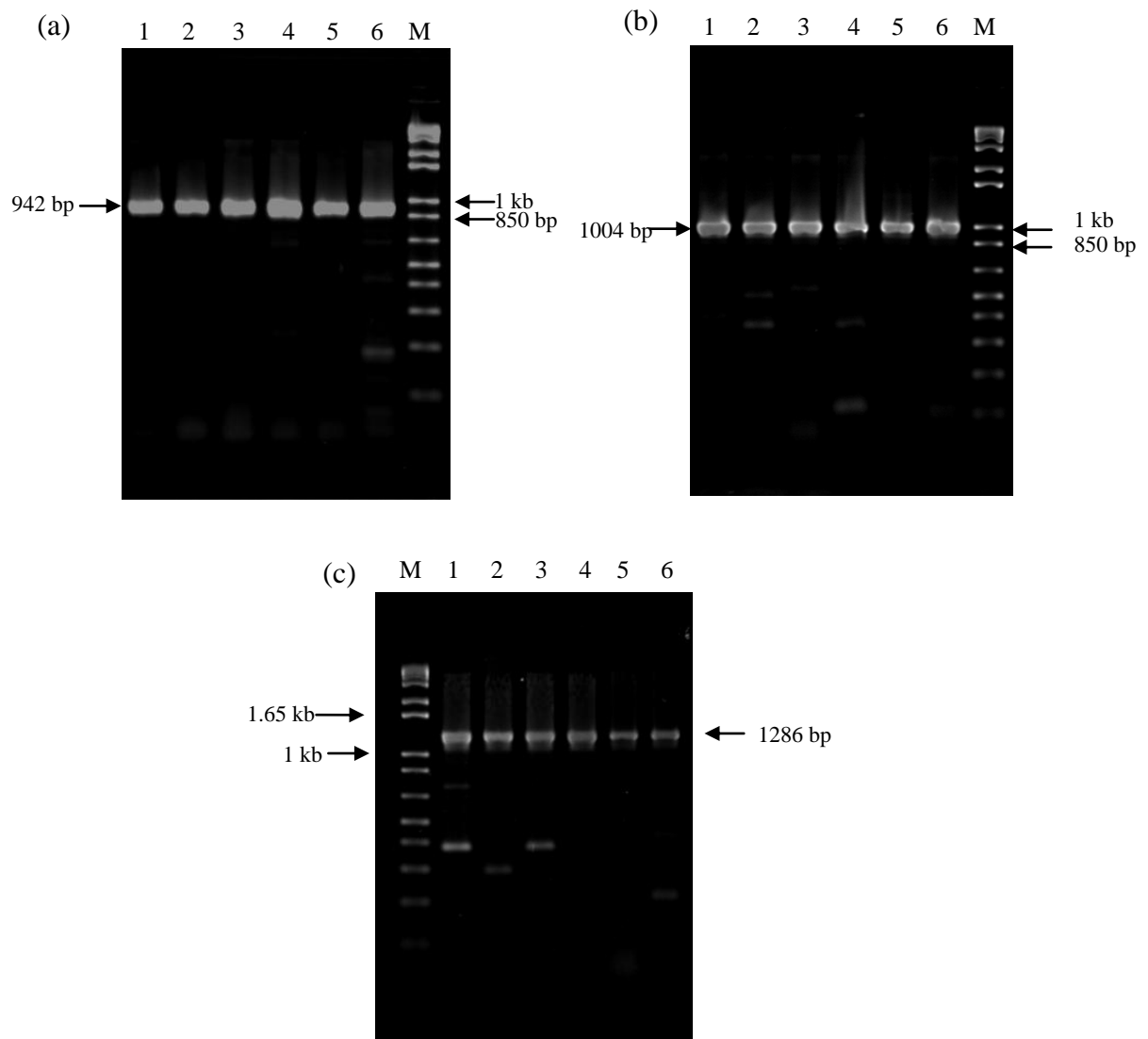
	841	***	900
IMP-14	AGCCAAGCGA	CTAAATTCT	AACAAGGCAC
Kp-22	AGCCAAGCGA	CTAAATTCT	AACAAGGCAC
Kp-34	AGCCAAGCGA	CTAAATTCT	AACAAGGCAC
	901		960
IMP-14	GTTCGTAAGC	CGCTTTTG	TGGTTTGCT
Kp-22	GTTCGTAAGC	CGCTTTTG	TGGTTTGCT
Kp-34	GTTCGTAAGC	CGCTTTTG	TGGTTTGCT
	961		1020
IMP-14	ACAAACTGCG	GCTGAGCTTA	ACGTTAGAAC
Kp-22	ACAAACTGCG	GCTGAGCTTA	ACGTTAGAAC
Kp-34	ACAAACTGCG	GCTGAGCTTA	ACGTTAGAAC
	1021		1080
IMP-14	GTTCGTGTT	CGGATACATC	TGATTGGTTA
Kp-22	GTTCGTGTT	CGGATACATC	TGATTGGTTA
Kp-34	GTTCGTGTT	CGGATACATC	TGATTGGTTA
	1081		1140
IMP-14	GACCACGAAA	CCGAGATCGC	CCAGTTTTC
Kp-22	GACCACGAAA	CCGAGATCGC	CCAGTTTTC
Kp-34	GACCACGAAA	CCGAGATCGC	CCAGTTTTC
	1141		1200
IMP-14	CTGGTAGCCC	ATGATGATGC	GGGGGCCGTT
Kp-22	CTGGTAGCCC	ATGATGATGC	GGGGGCCGTT
Kp-34	CTGGTAGCCC	ATGATGATGC	GGGGGCCGTT
	1201		1260
IMP-14	GATGTCGCA	GGCTGGAGGG	CATCAGAGCG
Kp-22	GATGTCGCA	GGCTGGAGGG	CATCAGAGCG
Kp-34	GATGTCGCA	GGCTGGAGGG	CATCAGAGCG
	1261		1320
IMP-14	GCCCCATCGCT	CGTCCAGCGT	CGCGACGCAG
Kp-22	GCCCCATCGCT	CGTCCAGCGT	CGCGACGCAG
Kp-34	GCCCCATCGCT	CGTCCAGCGT	CGCGACGCAG
	1321		1380
IMP-14	AGTCAGGGAT	GCCGGGCCTT	TGCATCGGAT
Kp-22	AGTCAGGGAT	GCCGGGCCTT	TGCATCGGAT
Kp-34	AGTCAGGGAT	GCCGGGCCTT	TGCATCGGAT
	1381		1440
IMP-14	TTTTCTGTGA	GTCCGCTTTC	TAACCCTTCA
Kp-22	TTTTCTGTGA	GTCCGCTTTC	TAACCCTTCA
Kp-34	TTTTCTGTGA	GTCCGCTTTC	TAACCCTTCA
	1441		1500
IMP-14	ATTTGAACGT	TAGATGCACT	AAGCACATAA
Kp-22	ATTTGAACGT	TAGATGCACT	AAGCACATAA
Kp-34	ATTTGAACGT	TAGATGCACT	AAGCACATAA
IMP-14	TGCTT	1505	
Kp-34	-----		
Kp-22	-----		

รูปที่ 3.5 ลำดับนิวคลีโอไทด์ของยีน $bla_{IMP-14a}$ และ integron จาก *K. pneumoniae* isolates Kp-22 และ Kp-34 เปรียบเทียบกับของยีน bla_{IMP-14} ซึ่งรายงานโดย Tribuddharat และคณะ (2004) (GenBank accession no. AY553332) (ต่อ)

*แสดง start codon และ stop codon; แรเงาแสดงตำแหน่งนิวคลีโอไทด์ของยีน $bla_{IMP-14a}$ ที่ต่างจาก bla_{IMP-14}



รูปที่ 3.6 ยีน *bla_{IMP-14a}* และ integron จาก *K. pneumoniae* isolates Kp-22 และ Kp-34 เปรียบเทียบกับยีน *bla_{IMP-14}* และ integron ของ *P. aeruginosa* จากโรงพยาบาลศิริราช (GenBank accession no. AY553332) และ *P. aeruginosa* จากประเทศไทยไปประเทศนอร์เวย์ (31) และยีน *bla_{IMP-14-a}* และ integron ของ *P. aeruginosa* จากโรงพยาบาลศรีนครินทร์ (GenBank accession no. FJ267651)



รูปที่ 3.7 ผลการตรวจหาเชื้อที่มียีน bla_{NDM-1} จำนวน 6 ตัวอย่างโดยใช้เพรเมอร์ IS125D-F คู่กับ NDM-R (a), NDM-F คู่กับ Ble-R (b) และ NDM-F คู่กับ TrpF-R

Lane M, 1 kb plus DNA ladder; 1, Cf-55; 2, Kp-103, 3; Cf-119; 4, Kp-120; 5, Ec-131; 6, Ec148

	961	1020
NDM-1 (DVR22) Ec-148	TCACTGAATA CTCGTCCTAG AAAGGCCGTTA GATTGGCTTA CACCATAGA GAAATTTGCT	-----TTGCT
	1021	1080
NDM-1 (DVR22) Ec-148	CAGCTGTTG ATTATCATAT GGCTTTGAA ACTGTGCAC CTCATGTTG AATTGCCCC	CAGCTGTTG ATTATCATAT GGCTTTGAA ACTGTGCAC CTCATGTTG AATTGCCCC
	1081	1140
NDM-1 (DVR22) Ec-148	ATATTTTG C TACAGTGAAC CAAATTAAGA TCATCTATT ACTAGGCCTC GCATTTGCGG	ATATTTTG C TACAGTGAAC CAAATTAAGA TCATCTATT ACTAGGCCTC GCATTTGCGG
	1141	1200
NDM-1 (DVR22) Ec-148	GGTTTTAAT GCTGAATAAA AGGAAAACCT GATGGAATTG CCCAATATTA TGCACCCGGT	GGTTTTAAT GCTGAATAAA AGGAAAACCT GATGGAATTG CCCAATATTA TGCACCCGGT
	1201	1260
NDM-1 (DVR22) Ec-148	CGCGAAGCTG AGCACCGCAT TAGCCGCTGC ATTGATGCTG AGCGGGTGC TGCCCGGTGA	CGCGAAGCTG AGCACCGCAT TAGCCGCTGC ATTGATGCTG AGCGGGTGC TGCCCGGTGA
	1261	1320
NDM-1 (DVR22) Ec-148	AATCCGCCCCG ACGATTGGCC AGCAAATGGA AACTGGCGAC CAACGGTTTG GCGATCTGGT	AATCCGCCCCG ACGATTGGCC AGCAAATGGA AACTGGCGAC CAACGGTTTG GCGATCTGGT
	1321	1380
NDM-1 (DVR22) Ec-148	TTTCCGCCAG CTCGCACCGA ATGTCGGCA GCACACTTCC TATCTGACA TGCCGGTTT	TTTCCGCCAG CTCGCACCGA ATGTCGGCA GCACACTTCC TATCTGACA TGCCGGTTT
	1381	1440
NDM-1 (DVR22) Ec-148	CGGGGCAGTC GCTTCCAACG GTTGATCGT CAGGGATGGC GGCCCGTGC TGGTGGTCGA	CGGGGCAGTC GCTTCCAACG GTTGATCGT CAGGGATGGC GGCCCGTGC TGGTGGTCGA
	1441	1500
NDM-1 (DVR22) Ec-148	TACCGCCTGG ACCGATGACC AGACCGCCCA GATCCTAAC TGGATCAAGC AGGAGATCAA	TACCGCCTGG ACCGATGACC AGACCGCCCA GATCCTAAC TGGATCAAGC AGGAGATCAA
	1501	1560
NDM-1 (DVR22) Ec-148	CCTGCCGGTC GCGCTGGCGG TGTTGACTCA CGCGCATCAG GACAAGATGG GCGGTATGGA	CCTGCCGGTC GCGCTGGCGG TGTTGACTCA CGCGCATCAG GACAAGATGG GCGGTATGGA
	1561	1620
NDM-1 (DVR22) Ec-148	CGCGCTGCAT CGGGCGGGGA TTGCGACTTA TGCCAATGCG TTGTCGAACC AGCTTGC	CGCGCTGCAT CGGGCGGGGA TTGCGACTTA TGCCAATGCG TTGTCGAACC AGCTTGC
	1621	1680
NDM-1 (DVR22) Ec-148	GCAAGAGGGG ATGGTTGCGG CGAACACAG CCTGACTTC GCCGCAATG GCTGGGTCGA	GCAAGAGGGG ATGGTTGCGG CGAACACAG CCTGACTTC GCCGCAATG GCTGGGTCGA
	1681	1740
NDM-1 (DVR22) Ec-148	ACCAGCAACC GCGCCAACCT TTGGCCCGCT CAAGGTATT TACCCCGGCC CCGGCCACAC	ACCAGCAACC GCGCCAACCT TTGGCCCGCT CAAGGTATT TACCCCGGCC CCGGCCACAC
	1741	1800
NDM-1 (DVR22) Ec-148	CAGTGACAAT ATCACCGTTG GGATGACGG CACCGACATC GCTTTGGTG GCTGCCTGAT	CAGTGACAAT ATCACCGTTG GGATGACGG CACCGACATC GCTTTGGTG GCTGCCTGAT
	1801	1860
NDM-1 (DVR22) Ec-148	CAAGGACAGC AAGGCCAAGT CGCTCGGCAA TCTCGGTGAT GCCGACACTG AGCACTACGC	CAAGGACAGC AAGGCCAAGT CGCTCGGCAA TCTCGGTGAT GCCGACACTG AGCACTACGC
	1861	1920
NDM-1 (DVR22) Ec-148	CGCGTCAGCG CGCGCGTTTG GTGCGCGTT CCCAAGGCC AGCATGATCG TGATGAGCCA	CGCGTCAGCG CGCGCGTTTG GTGCGCGTT CCCAAGGCC AGCATGATCG TGATGAGCCA
	1921	1980
NDM-1 (DVR22) Ec-148	TTCCGCCCCC GATAGCCGCG CCGCAATCAC TCATACGGCC CGCATGGCCG ACAAGCTGCG	TTCCGCCCCC GATAGCCGCG CCGCAATCAC TCATACGGCC CGCATGGCCG ACAAGCTGCG
	1981	2040

NDM-1 (DVR22) Ec-148	CTGAGCCATG GCTGACCACG TCACCCCAA TCTGCCATCG CGCGATTTCG ATGTGACAGA	CTGAGCCATG GCTGACCACG TCACCCCAA TCTGCCATCG CGCGATTTCG ATGTGACAGA
	2041	2100
NDM-1 (DVR22) Ec-148	GGCGTTTAT GCGAAGCTGG GCTTGCAC GAGTGGAAAG GATCGCGCT GGATGATCCT	GGCGTTTAT GCGAAGCTGG GCTTGCAC GAGTGGAAAG GATCGCGCT GGATGATCCT
	2101	2160
NDM-1 (DVR22) Ec-148	GCAGCGCGGC GGTTGCAGC TCGAATTCTT CCCCTATCCT GACCTCGACC CAGCTACGAG	GCAGCGCGGC GGTTGCAGC TCGAATTCTT CCCCTATCCT GACCTCGACC CAGCTACGAG
	2161	2220
NDM-1 (DVR22) Ec-148	CTCGTCGGC TGTTGCCTGC GGTTGGATGA TCTCGATGCC ATGGTGGCAT TGGTGAACGC	CTCGTCGGC TGTTGCCTGC GGTTGGATGA TCTCGATGCC ATGGTGGCAT TGGTGAACGC

รูปที่ 3.8 ลำดับนิวคลีโอไทด์ของยีน *bla*_{NDM-1} จาก *E. coli* isolates Ec-148 เปรียบเทียบกับของยีน *bla*_{NDM-1} ซึ่งรายงานโดย Sole และคณะ (2011) (GenBank accession no. JF922606)

*แสดง start codon และ stop codon

	2221	2280
NDM-1 (DVR22) Ec-148	GGCAGGAGCC GAGGAAAAAA GCACCGGCTG GCCCGCGCTTC AAAGCTCCGC AACTGGAGGC GGCAGGAGCC GAGGAAAAAA GCACCGGCTG GCCCGCGCTTC AAAGCTCCGC AACTGGAGGC	2340
	2281	
NDM-1 (DVR22) Ec-148	GAGCGGCCTG AGGATCGGCT ACCTGATCGA TCCCGACTGC ACGCTGGTGC GGCTGATCCA GAGCGGCCTG AGGATCGGCT ACCTGATCGA TCCCGACTGC ACGCTGGTGC GGCTGATCCA	2400
	2341	
NDM-1 (DVR22) Ec-148	GAACCCGAC TGACCGCATG CCCGCGAAAA TCAAGATTG CGGGATCAGC ACACCCGAGG GAACCCGAC TGACCGCATG CCCGCGAAAA TCAAGATTG CGGGATCAGC ACACCCGAGG	2460
	2401	
NDM-1 (DVR22) Ec-148	CGCTCGATGC GACCATCGCG GCGCGGGCGG ACTATGCCGG GTTGGTGTTC TATCCAGCGT CGCTCGATGC GACCATCGCG GCGCGGGCGG ACTATGCCGG GTTGGTGTTC TATCCAGCGT	2520
	2461	
NDM-1 (DVR22) Ec-148	CGCCCCGTGC GGTTACGTG AATGTCGCGG GCGCTTGAC ATCGCGCGCA GCTGGCCAGA CGCCCCGTGC GGTTACGTG AATGTCGCGG GCGCTTGAC ATCGCGCGCA GCTGGCCAGA	2580
	2521	
NDM-1 (DVR22) Ec-148	TCGCCATGGT CGGTTGTTC GTCGATGC GG ATGATGCTGT CATGCCGAC GCACTGGTGG TCGCCATGGT CGGTTGTTC GTCGAT---- ----- ----- ----- ----- ----- -----	

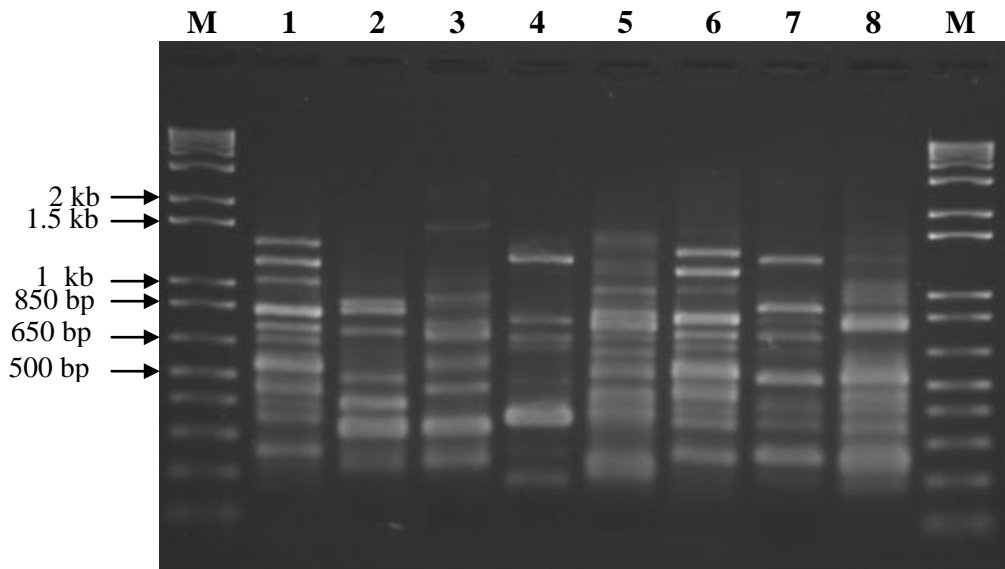
รูปที่ 3.8 ลำดับนิวคลีโอไทด์ของยีน *bla*_{NDM-1} จาก *E. coli* isolates Ec-148 เปรียบเทียบกับของยีน *bla*_{NDM-1} ซึ่งรายงานโดย Sole และคณะ (2011) (GenBank accession no. JF922606) (ต่อ)

*แสดง start codon และ stop codon

ตารางที่ 3.3 ผลการทดสอบความไวต่อยาด้านจุลทรรศน์พันธุ์ต่างๆ ของเชื้อที่ผลิตเอนไซม์ MBL

Organisms isolate no.	Carbapenemase genes	MICs (mg/L)					Antimicrobial susceptibility by disk diffusion test									
		ETP	IPM	MEM	ATM	AK	CN	NET	NA	OFX	NFX	CIP	LEV	SXT	CT	TGC
<i>K. pneumoniae</i> Kp-22	<i>bla</i> _{IMP-14a}	2	0.25	2	S	S	S	S	S	S	S	S	S	R	S	S
<i>K. pneumoniae</i> Kp-34	<i>bla</i> _{IMP-14a}	4	0.25	0.5	R	R	R	R	R	R	R	R	R	R	S	S
<i>C. freundii</i> Cf-55	<i>bla</i> _{NDM-1}	64	8	8	S	S	R	S	R	R	R	R	R	R	S	S
<i>C. freundii</i> Cf-119	<i>bla</i> _{NDM-1}	64	8	8	R	S	R	S	R	R	R	R	R	R	S	S
<i>K. pneumoniae</i> Kp-120	<i>bla</i> _{NDM-1}	16	4	4	R	S	I	R	R	R	R	R	R	R	S	S
<i>K. pneumoniae</i> Kp-103	<i>bla</i> _{NDM-1}	32	8	8	S	S	S	S	S	S	S	S	S	S	S	S
<i>E. coli</i> Ec-131	<i>bla</i> _{NDM-1}	16	4	4	S	S	S	S	S	S	S	S	S	S	S	S
<i>E. coli</i> Ec-148	<i>bla</i> _{NDM-1}	16	4	4	I	S	S	S	R	R	R	R	R	R	S	S

AK, 30-μg amikacin; ATM, 30-μg aztreonam; CIP, 5-μg ciprofloxacin; CN, 10-μg gentamicin; CT, 10-μg colistin; ETP, 10-μg ertapenem; IPM, 10-μg imipenem; LEV, 5-μg levofloxacin; MEM, 10-μg meropenem; NA, 30-μg nalidixic acid; NET, 30-μg netilmicin; NFX, 10-μg norfloxacin; OFX, 5-μg ofloxacin; SXT, 1.25/23.75-μg trimethoprim/sulfametoxazole; TGC, 15-μg tigecycline.



รูปที่ 3.9 DNA fingerprint ของเชื้อที่ผลิตเอนไซม์ MBL จำนวน 8 ตัวอย่างโดยเทคนิค ERIC-PCR
Lane M, 1 kb plus DNA ladder; 1 & 6, *C. freundii* isolates no. 55 และ 119 ตามลำดับ; 2 & 3, *E. coli* isolates no. 131 และ 148 ตามลำดับ; 4, 5, 6, 7 & 8, *K. pneumoniae* isolates no. 103, 120, 22 และ 34 ตามลำดับ